

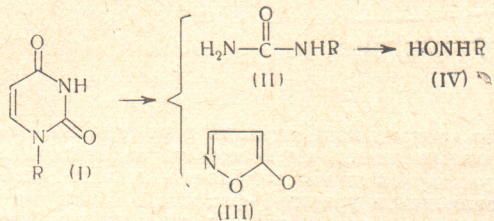
УДК 547.963.32

ХИМИЯ

Э. И. БУДОВСКИЙ, В. Д. ДОМКИН,
член-корреспондент АН СССР Н. К. КОЧЕТКОВ

**О МЕХАНИЗМЕ РЕАКЦИИ ГИДРОКСИЛАМИНА
С УРАЦИЛЬНЫМ ЯДРОМ**

Действие гидроксиламина (ГА) на нуклеиновые кислоты и их компоненты широко используется при структурных и функциональных исследованиях нуклеиновых кислот^(1, 2). Ранее было показано, что ГА в различных условиях реагируют с урацильным и цитозиновым⁽¹⁻⁵⁾, а также адениновым⁽⁶⁾ ядрами как в составе нуклеозидов, так и в полинуклеотидах. В то время как механизм реакции ГА с цитозиновым ядром удалось в значительной мере выяснить⁽⁷⁾, для реакции ГА с урацильным ядром известно лишь, что в общем виде это превращение при pH 10 и высокой концентрации ГА можно описать следующей схемой⁽⁸⁾:



где R — остаток рибозы или дезоксирибозы. Совершенно ясно, что образование рибозилмечавины (II) и изоксазолона (III) является результатом многостадийной реакции, однако направление первичной атаки ГА на урацильное ядро и механизм дальнейших превращений промежуточных продуктов оставались невыясненными. Между тем, сведения о механизме реакции являются крайне существенными при практи-

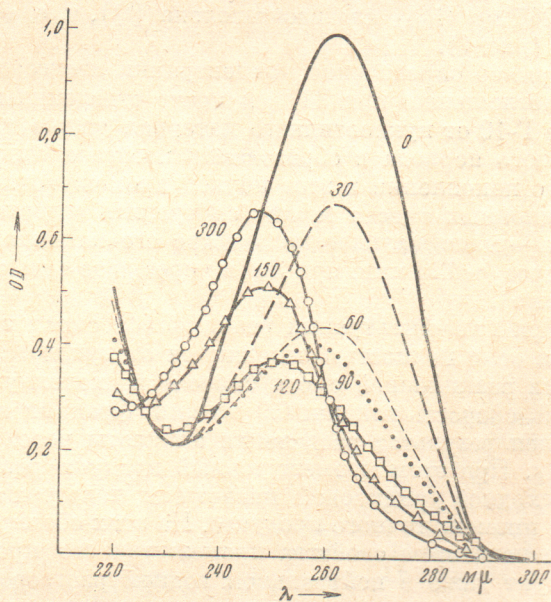


Рис. 4. Спектры реакционной смеси уридин-5'-фосфата ($5 \cdot 10^{-2} M$) с $2.0 M$ водным раствором гидроксиламина (pH 8.0; 30°; смесь $1 \cdot 10^{-3} M$ по версено). Спектры сняты после разбавления аликов водой (0,1 мл до 50 мл). Цифры справа от кривых — время в минутах от начала реакции

ческом использовании гидроксиламина для химической модификации нуклеиновых кислот и для трактовки результатов при функциональных и структурных исследованиях, проводимых с применением этого реагента

(²). Принимая во внимание структуру изоксазолона-3 (III), можно было предположить лишь, что первичная атака совершается либо аминогруппой ГА по C₍₅₎ — C₍₆₎ двойной связи (^{9, 10}), либо гидроксильной группой ГА по C₍₄₎ урацильного ядра (¹¹). Для выяснения механизма реакции необходимо было изучить структуру и свойства промежуточного продукта реакции.

Нам удалось показать, что при pH ≤ 8 и относительно низкой концентрации гидроксиламина (1–2 M) нарушение ароматичности урацильного ядра, что видно по падению оптической плотности при λ > 270 мкм, не сопровождается одновременным сдвигом максимума в коротковолновую сторону и увеличением плотности

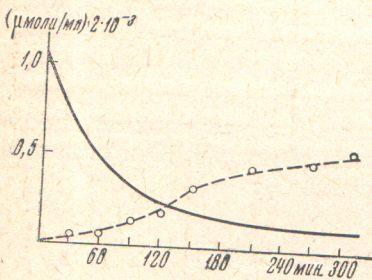


Рис. 2

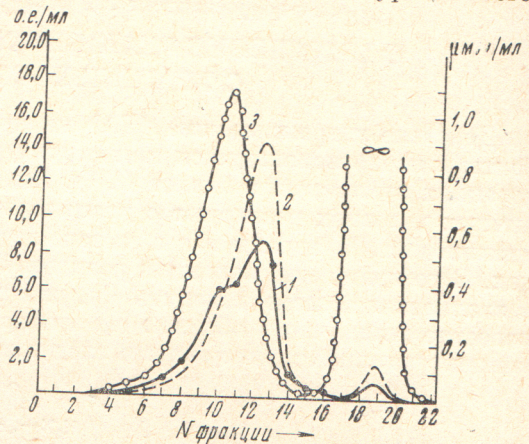


Рис. 3

Рис. 2. Изменение во времени концентрации в реакционной смеси (см. рис. 1) уридин-5'-фосфата (сплошная линия, вычислена по оптической плотности при 275 мкм) и изоксазолона-3 (пунктирная линия, вычислено по оптической плотности при 247 мкм с учетом вклада неизмененного уридин-5'-фосфата). Точки на пунктирной кривой — концентрация изоксазолона в смеси, определенная по результатам анализа на сефадексе Г-10 (рис. 3)

Рис. 3. Гель-фильтрация аликовт реакционной смеси (см. рис. 1) на сефадексе Г-10. 1 — оптическая плотность при 220 мкм, 2 — при 260 мкм, 3 — содержание гидроксиламина во фракции (мкмоль/мл) после обработки 0,5 N HCl (100°, 30 мин.) (⁸)

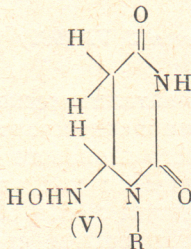
при 247 мкм (λ_{max} для изоксазолона (⁹)), т. е. образованием соединений II и III (рис. 1).

Прямое определение концентрации изоксазолона в реакционной смеси (по поглощению при 247 мкм после отделения гель-фильтрацией на сефадексе Г-10 от нуклеотидного материала также показывает наличие индукционного периода в образовании изоксазолона (рис. 2), что свидетельствует о накоплении в этот период промежуточного продукта. По спектрам реакционных смесей можно определить содержание промежуточного продукта — максимальное количество его накапливается в реакционной смеси через ~120 мин. при 30° и через двое суток при 0° (45 и 65% соответственно).

При гель-фильтрации реакционной смеси на сефадексе Г-10 изоксазолон и соли полностью отделяются от нуклеотидного материала (рис. 3). 0,4 мл реакционной смеси наносят на колонку (1,8 × 70 см) и элюируют водой, скорость элюции 0,9 мл/мин, фракции по 27 мл. На рисунке представлен результат разделения аликовты через 120 мин. после начала реакции. При этом промежуточный продукт реакции частично отделяется от исходной уридиевой кислоты и некоторые фракции содержат более 80% промежуточного продукта. На этих обогащенных фракциях были изучены некоторые свойства промежуточного продукта: 1) промежуточный продукт даже в нейтральном водном растворе медленно отщепляет один моль гидроксиламина и превращается в исходную уридиевую кислоту (рис. 4). В кислой среде (pH ≤ 1) и при нагревании это превращение идет быстро и практически количественно.

2. В спектре я.м.р. промежуточного продукта, снятом в D_2O , наблюдается интенсивный сигнал при 6,76 м.д., характерный для протонов у $C_{(5)}$ дигидроурацильного ядра (¹²), сигналы, характерные для $C_{(6)}$ — протона в урацильном ядре (8,0 м.д. (¹³)), практически отсутствуют.

На основании этих данных, можно с достаточным основанием считать, что промежуточный продукт реакции урацильного ядра с ГА является 6-оксиамино-5,6-дигидроурацильным производным (V).



Таким образом, по-видимому, первой стадией взаимодействия ГА с урацильным ядром, как и в случае реакции с цитозиновым ядром, является присоединение ГА по $C_{(5)} - C_{(6)}$ двойной связи; образовавшийся аддукт далее претерпевает превращения по приведенной выше схеме.

При использовании ГА для функциональных исследований РНК необходимо учитывать лабильность образующегося модифицированного уридинового звена. По-видимому, инактивирующее действие ГА на РНК-содержащие вирусы объясняется не только образованием звеньев типа II и IV (¹⁴), но и звеньев типа V. В этом случае инкубация РНК в слабокислой среде после модификации должна привести к существенному понижению инактивации. Аналогичная реактивация при инкубации в слабокислой среде, по-видимому, должна наблюдаться и в случае других РНК, инактивированных действием гидроксиламина при pH 7—8.

Институт органической химии им. Н. Д. Зелинского
Академии наук СССР

Поступило
11 VI 1969

Москва

ЦИТИРОВАННАЯ ЛИТЕРАТУРА

- ¹ J. Phillips, D. M. Brown, Progr. in Nucleic Acids and Molecular Biology, 7, 1967, p. 349. ² N. K. Kochetkov, E. I. Budowsky, Progr. in Nucleic Acids and Molecular Biology, 9, 1969, p. 403. ³ D. W. Verwoerd, H. Kohlhage, W. Zillig, Nature, 192, 1038 (1961). ⁴ H. Schuster, J. Mol. Biol., 3, 447 (1961). ⁵ N. K. Kochetkov, E. I. Budowsky, N. A. Simukova, Biochim. et biophys. acta, 55, 255 (1962). ⁶ E. L. Budowsky, E. D. Sverdlov, G. S. Monastyrskaia, J. Mol. Biol., 43, 234 (1969). ⁷ Э. И. Будовский, Е. Д. Свердлов и др., Мол. биол., 2, 329 (1968). ⁸ N. K. Kochetkov, E. I. Budowsky et al., Biochim. et biophys. acta, 142, 35 (1967). ⁹ W. Verwoerd, W. Zillig, H. Kohlhage, Zs. Physiol. Chem., 332, 184 (1963). ¹⁰ C. Janion, D. Shugar, Acta Biochem. Polonica, 12, 337 (1965). ¹¹ Н. К. Кошетков, Э. И. Будовский, ДАН, 152, 1005 (1963). ¹² W. I. Wechter, K. C. Smith, Biochemistry, 7, 4064 (1968). ¹³ J. Zemlicka, F. Sorm, Coll. Czechoslov. Chem. Commun., 32, 576 (1967). ¹⁴ H. Schuster, H.-G. Wittmann, Virology, 19, 421 (1963).

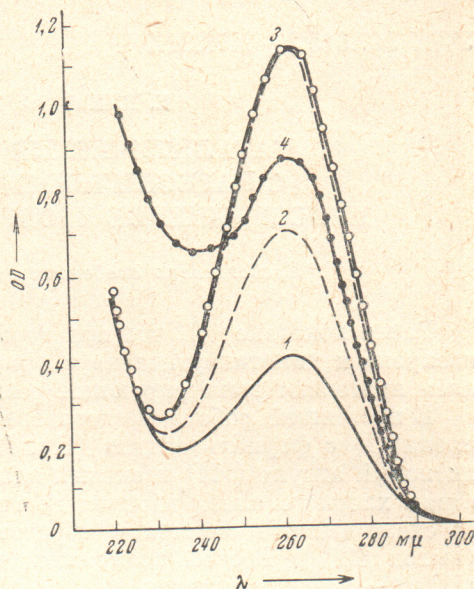


Рис. 4. Спектры фракций, обогащенных промежуточным продуктом (~70%, фракция № 10, см. рис. 3). 1 — pH 6,0; снят сразу; 2 — pH 6,0; снят через 6 час. при 20°; 3 — раствор подвергнут кислому гидролизу (0,5 N HCl, 100°; 30 мин.) и нейтрализован до pH 6,0. Точки на кривой 3 — спектр, вычисленный в предположении о количественном превращении промежуточного вещества в исходный уридин-5'-фосфат; 4 — раствор после кислого гидролиза подщелочен до pH 10,8